

где

$$W_{\text{отд}} = N_e \gamma_1 m c^2 \frac{\gamma_N}{NT} \simeq N_e \gamma_1 m c^2 \eta_1 (\alpha, \rho) / T$$

(мы приняли линейный рост КПД, согласно (16)). Здесь  $T \simeq 2\pi R_1/c$  — период обращения электрона,  $W_{\text{изл}} = \omega z / Q$ ,  $\varepsilon = \frac{k^2 A^2}{4\pi} L_p S$  — энергия поля,  $Q = kL_p/(1 - r_1 r_2)$  — добротность резонатора,  $L_p$  и  $S$  — длина резонатора и площадь зеркал,  $v_1$  и  $v_2$  — коэффициенты отражения зеркал. Из формулы (17) получаем

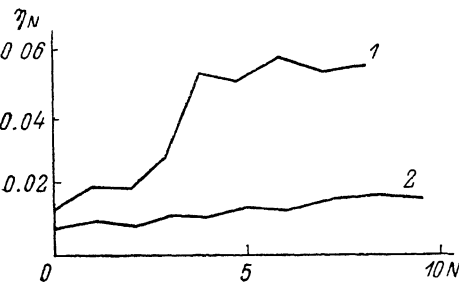


Рис. 4.

$\alpha = 0.1$ ,  $\rho = 1$ .  $x_0$ : 1 — 2.5, 2 — 2.

$$N_e = \frac{1}{8r_0} (1 - v_1 v_2) S \frac{\gamma_1^5}{R_1} \frac{\mu_1(\alpha, \rho)}{\alpha^2}, \quad (18)$$

где  $r_0 = 2.8 \cdot 10^{-13}$  см.

Для отыскания стартового числа частиц  $N_e^{\text{ст}}$  подставляем в (18) «линейное» приближение  $\eta_1$  из выражения (5). Принимая для оценки  $\rho \sim 4$ ,  $M \sim 1$ , имеем  $\eta_1(\alpha, \rho)/\alpha^2 \sim 16$  и соответственно

$$N_e^{\text{ст}} = \frac{2}{r_0} (1 - v_1 v_2) S \frac{\gamma_1^5}{R_1}. \quad (19)$$

Выберем  $v_1 \sim 1$ ,  $v_2 \sim 0.9$  и  $S = 0.1$ , чему соответствует добротность  $\sim 10^4$  в субмиллиметровом диапазоне и  $\sim 10^3$  в миллиметровом. Для  $\gamma_1 = 8-9$  ( $\lambda \sim 0.5$  мм) стартовое число частиц, полученное из (19), примерно вдвое меньше рабочего. Такому режиму соответствуют малые значения КПД и излучаемые мощности порядка 10—100 кВт. В миллиметровом диапазоне ( $\gamma_1 \sim 5$ ) из (18), (19) получаем  $N_e/N_e^{\text{ст}} \sim 10$ , а величину  $\alpha$  определяем из (18), вычисляя функцию  $\eta_1(\alpha, \rho)$  численно ( $\alpha \sim 0.1$ ). Соответствующее значение КПД из (5) 1—2 %, излучаемая мощность 10—100 МВт.

Авторы выражают благодарность В. Л. Братману, Н. С. Гинзбургу, И. В. Кузнецовой за полезные обсуждения.

#### Литература

- [1] Братман В. Л., Гинзбург Н. С., Нусинович и др. // Релятивистская высокочастотная электроника. Горький, 1979. 298 с.
- [2] Братман В. Л., Гинзбург Н. С., Сергеев А. С. // ЖТФ. 1985. Т. 55. Вып. 3. С. 479—487.
- [3] Саранцев В. П., Переильштейн Э. А. Коллективное ускорение ионов электронными кольцами. М.: Атомиздат, 1979. 30 с.

Поступило в Редакцию  
3 ноября 1987 г.

#### ФОРМИРОВАНИЕ ШИРОКОАПЕРТУРНЫХ СИЛЬНОТОЧНЫХ ЭЛЕКТРОННЫХ ПУЧКОВ В ДИОДАХ С МНОГОЛЕЗВИЙНЫМИ КАТОДАМИ

Э. Н. Абдуллин, В. Т. Астрелин, С. Я. Беломытиев,  
С. П. Бугаев, С. В. Логинов

Возможности формирования широкоапертурных сильноточных электронных пучков в вакуумном диоде в отсутствие внешних магнитных полей ограничены влиянием собственного магнитного поля пучка. Известно [1], что для диода с плоским катодом уже при нерелятивистских напряжениях  $V \sim \frac{mc^2}{e} \frac{d}{R}$  ( $d$  — межэлектродный зазор,  $R$  — радиус катода) траек-

тории электронов на периферии диода существенно искривляются под действием собственного магнитного поля пучка. Оценочное значение предельного тока диода составляет

$$I \simeq \frac{mc^3}{2e} \frac{R}{d} (\gamma^2 - 1)^{1/2} \quad (1)$$

для цилиндрического пучка и

$$I \simeq \frac{mc^3}{2e} \frac{(\gamma^2 - 1)^{1/2}}{\pi d} \quad (2)$$

для ленточного пучка, где  $\gamma = 1 + eV/mc^2$ .

Для предотвращения пинчевания пучка обычно применяют внешнее ведущее магнитное поле. Однако при формировании широкоапертурных пучков создание такого поля связано с большими энергозатратами. Поэтому возникает необходимость формирования в диоде такой конфигурации электрических полей, которая позволила бы ослабить влияние магнитного поля пучка и увеличить ток в диоде по сравнению с (1) и (2). Кроме того, во многих случаях требуется формировать пучок с равномерным распределением плотности тока на аноде (или в заанодном пространстве), что также может достигаться выбором геометрии диода.

В связи с этим в настоящей работе проведено численное исследование формирования сильноточных электронных пучков в вакуумных диодах с многолезвийными катодами при отношении поперечных размеров катода к длине зазора  $\sim 6$  и ускоряющих напряжениях  $V \sim 600 - 800$  кВ. Такой тип эмиттера выбран, во-первых, для обеспечения равномерности взрывной эмиссии на кромках лезвий и, во-вторых, для увеличения поперечной составляющей напряженности электрического поля на периферии катода.

Геометрия диода показана на рис. 1. Были проведены три серии расчетов: I — расчет формирования электронного пучка в цилиндрическом диоде (для него на рис. 1 ось Y является осью симметрии); II — расчет формирования электронного пучка в плоском диоде, бесконечно протяженном в направлении, перпендикулярном межэлектродному зазору с равномерным распределением эмиттирующих лезвий; III — расчет пучка в плоском диоде с измененной геометрией (изменения в геометрии показаны на рис. 1 штрих-пунктиром). В расчетах размер катода принимался равным 24 см, высота лезвий равнялась 3 см, расстояние между лезвием и анодом равнялось 4 см. Лезвия располагались на расстояниях  $x=0,6$  (или 7,5), 12 см от оси диода. Для того чтобы учсть разлет катодной плазмы и его влияние на импеданс диода, в расчетах полагалось, что эмиттирующим участком является окружность радиуса  $r$  с центром на конце лезвия. В каждой серии расчетов радиус эмиттирующей поверхности принимал значения  $r_{\text{эм}} = 3, 6$  и 10 мм, что при скорости разлета плазмы  $\sim 2 \cdot 10^6$  см/с соответствует

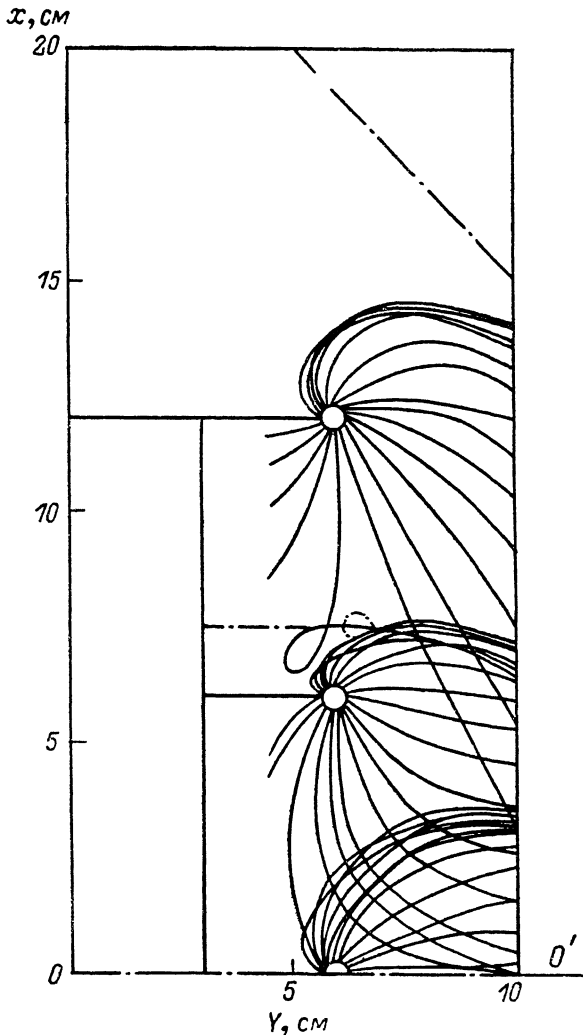


Рис. 1.

$00'$  — ось симметрии. Траектории для случая II, а.

разлета катодной плазмы. Траектории для случая II, а. В расчетах размер катода принимался равным 24 см, высота лезвий равнялась 3 см, расстояние между лезвием и анодом равнялось 4 см. Лезвия располагались на расстояниях  $x=0,6$  (или 7,5), 12 см от оси диода. Для того чтобы учсть разлет катодной плазмы и его влияние на импеданс диода, в расчетах полагалось, что эмиттирующим участком является окружность радиуса  $r$  с центром на конце лезвия. В каждой серии расчетов радиус эмиттирующей поверхности принимал значения  $r_{\text{эм}} = 3, 6$  и 10 мм, что при скорости разлета плазмы  $\sim 2 \cdot 10^6$  см/с соответствует

Диод	$r_{\text{эм}}$ , мм	$V$ , кВ	$I_1$	$I_2$	$I_3$	$I$
Цилиндрический, I	a	3	600	32.7	9.4	0.7
	b	6	800	60.9	17.5	1.4
	c	10	600	53	14.4	1.2
Плоский, II	a	3	600	42.3	25.6	13.5
	b	6	800	73.8	35.6	26
	c	10	600	64	34.6	18.5
Модифицированный плоский, III	a	3	600	38.5	30.5	15
	b	6	800	70.4	49.1	26.7
	c	10	600	68.3	58.6	20.2

временам  $t=150$ , 300 и 500 нс. Напряжение на диоде для этих моментов времени бралось равным 600, 800 и 600 кВ, соответственно.

Расчеты проводились при помощи пакета прикладных программ «POISSON-2» [2], позволяющего самосогласованным образом рассчитать задачу о формировании пучка в диоде с учетом собственного магнитного поля пучка. Самосогласованное решение находится методом итераций с использованием релаксации по пространственному заряду пучка. Результатом

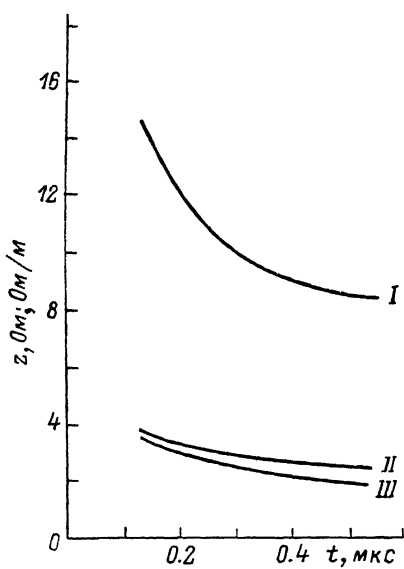


Рис. 2. Импеданс диода в зависимости от времени.

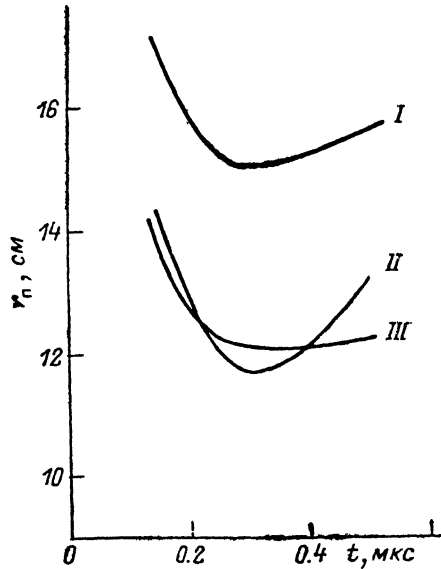


Рис. 3. Размер пучка в плоскости анода в зависимости от времени.

расчета являются величина тока в диоде, форма траекторий электронов и распределение плотности тока по сечению пучка в плоскости анода. Счетные параметры задачи: число траекторий — 50 во всех вариантах; число узлов прямоугольной сетки для расчета пространственного заряда и компонент электрического и магнитного поля — 1173; количество итераций — около 20.

Полученные в результате расчета величины тока приведены в таблице. Значения токов для плоского случая даны на единицу длины (1 м). Приведены также величины тока, эмитируемые каждым лезвием:  $I_1$  — ток с лезвием, установленного при  $x=12$  см,  $I_2$  — ток, эмитируемый лезвием при  $x=6$  см (или 7.5),  $I_3$  — ток с центрального лезвия  $x=0$  ( $I=\Sigma I_i$ ). Величины токов  $I_i$ ,  $I$  (в кА) для цилиндрической геометрии представляют собой полный ток через диод, в плоскопараллельном случае значения токов даны для половины диода.

Отметим, что в цилиндрическом диоде со сплошным катодом радиуса 12 см и межэлектродным зазором  $d=4$  см величина тока по закону «3/2» при  $V \sim 600$  кВ порядка 30 кА. Использование лезвийного катода позволяет существенно увеличить ток через диод. Изменение же геометрии плоского диода приводит к незначительному увеличению тока.

На рис. 2 показано изменение импеданса диодов в течение импульса напряжения. Импеданс цилиндрического диода уменьшается со временем от  $\sim 14$  до 8.7 Ом, а импеданс плоского диода уменьшается от 3.7 до 6 Ом/м. Относительные изменения импеданса за время импульса в обоих случаях примерно одинаковы.

Размер пучка в плоскости анода в зависимости от времени показан на рис. 3. Радиус пучка в цилиндрическом диоде остается больше размера катода, а в плоском диоде  $r_p \sim r_{\text{катода}}$ .

Плотность тока в плоскости анода определялась по формулам  $j_i = I_i / \frac{1}{2} (x_{i+1} - x_{i-1})$

(в плоском случае) и  $j_i = I_i / \frac{\pi}{4} ((x_{i+1} + x_i)^2 - (x_i + x_{i-1})^2)$  (в цилиндрическом диоде), где  $I_i$  — ток в  $i$ -трубке тока;  $x_{i-1}$ ,  $x_i$ ,  $x_{i+1}$  — координаты траекторий электронов на аноде для трех соседних трубок тока. На рис. 4 показано распределение плотности тока по сечению пучка в плоскости анода для трех типов диода при  $r_{\text{эм}} = 3$  мм и напряжении на диоде  $V = 600$  кВ. Траектории электронов для этих же значений  $r_{\text{эм}}$  и  $V$  в плоскопараллельном диоде показаны на рис. 1. В плоском диоде в области  $x \sim 8$ —9 см имеется провал в распределении плотности тока на аноде. Изменение геометрии диода путем выдвижения среднего эмиттера и приближения анодной поверхности к катоду на краю диода приводит к более однородному распределению тока на аноде при больших радиусах эмиттеров — значения плотности тока в области провала возрастают до  $60$ — $100$  А/см<sup>2</sup>. Увеличение плотности тока на периферии диода обусловлено пересечением траекторий электронов для соседних трубок. Действительно,  $j_a \sim j_k d\varphi/dx$ , где  $x$  — координата траектории на аноде,  $\varphi$  — угловая координата точки старта траектории на катоде, а пересечение траекторий означает, что для некоторой точки на аноде  $d\varphi/dx$  обращается в нуль, что приводит к появлению интегрируемой особенности величины  $j_a$ . В условиях эксперимента из-за теплового разброса электронов на катоде плотность тока в указанных точках будет конечной.

Таким образом, в результате проведенных численных расчетов показано, что в диодах с отношением поперечного размера катода к длине зазора  $\sim 6$  возможно формирование электронного пучка с током, превышающим предельный ток (2) для плоскопараллельного диода без существенного пинчевания пучка.

### Литература

- [1] Брейзман Б. Н., Рютов Д. Д., Ступаков Г. В. // Изв. вузов. Физика. 1979. Вып. 10. С. 7—26.  
 [2] Астремин В. Т., Иванов В. Я. // Автометрия. 1980. Вып. 3. С. 92—99.

Институт сильноточной электроники  
СО АН СССР  
Томск

Поступило в Редакцию  
11 ноября 1987 г.

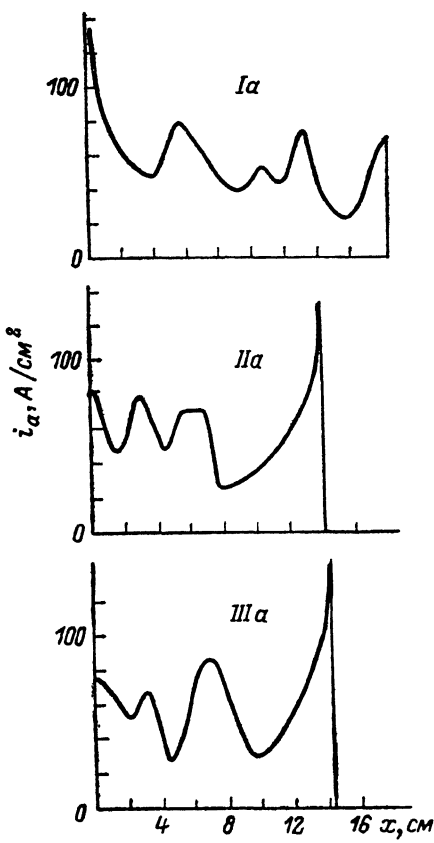


Рис. 4. Распределение плотности тока по сечению пучка в плоскости анода для случаев Ia, IIa, IIIa.